

# КВАНТОВЫЕ И КЛАССИЧЕСКИЕ КОРРЕЛЯЦИИ В ЭЛЕКТРОННО-ЯДЕРНОМ СПИНОВОМ ЭХЕ

В. Е. Зобов\*

*Институт физики им. Л. В. Киренского Сибирского отделения Российской академии наук  
660036, Красноярск, Россия*

Поступила в редакцию 5 июня 2014 г.

Исследованы квантовые свойства динамических корреляций системы из электронного спина в окружении ядерных спинов в условиях наблюдения спада свободной прецессии (ССП) и электронного спинового эха. Получены аналитические результаты, описывающие эволюцию во времени взаимной информации, классической части корреляций и квантовой части, характеризуемой квантовым дискордом, для модели центрального спина в высокотемпературном приближении. Одни и те же формулы описывают дискорд в СПП и в спиновом эхе, хотя вид самих зависимостей от времени и величины магнитного поля различен вследствие различия входящих в формулы параметров. Рассчитаны изменения величины дискорда при наличии ядерной поляризации  $\beta_I$  в дополнение к электронной поляризации  $\beta_S$ . Показано, что метод редукции матрицы плотности к двухспиновой электронно-ядерной системе качественно правильно описывает парные корреляции, играющие главную роль при  $\beta_S \approx \beta_I$  на малых временах. На больших временах такие корреляции затухают и главная роль переходит к многоспиновым корреляциям, обеспечивающим отличные от нуля значения взаимной информации и квантового дискорда.

DOI: 10.7868/S0044451014110054

## 1. ВВЕДЕНИЕ

Открытое Ханом спиновое эхо [1] послужило основой многих направлений применения магнитного резонанса: с одной стороны, как метода изучения локальных свойств твердых тел и жидкостей [2, 3], с другой стороны, в качестве реализуемого примера эха Лошмидта при изучении неравновесных процессов в многоспиновых системах [4, 5]. В последнее время возрос интерес к изучению квантовой информации [6–9], прежде всего, благодаря ее свойствам, обещающим принципиально новые возможности в быстродействии квантового компьютера, для развития связи и метрологии. Из-за технических сложностей пока еще не построены реальные устройства, реализующие эти возможности на многочастичных квантовых системах. Однако физические свойства квантовой информации можно изучать на таких системах традиционными методами, в том числе и методом спинового эха. Практически важной и хорошо изученной этим методом является система из электронного спина в окружении ядерных спинов.

В качестве примера приведем теоретические работы [10–14], в которых можно найти ссылки на используемые методы, полученные результаты и их анализ. Такая система представляется перспективной и для реализации устройств обработки квантовой информации [15].

Система из электронного спина в окружении ядерных спинов близка по устройству к квантовым системам, применяемым для реализации модели детерминистического квантового вычисления с одним поляризованным кубитом, взаимодействующим с системой кубитов в смешанном состоянии, (DQC1) [16]. Известно, что, согласно теории, компьютер DQC1-модели может решать некоторые задачи, сводящиеся к вычислению следа матрицы, быстрее классического компьютера [16–23]. Работа такого компьютера продемонстрирована в экспериментах на простых системах: например, молекулы в растворе, управляемые методом ЯМР [18, 20, 23], примеси  $\text{Ce}^{3+}$  в кристалле  $\text{CaF}_2$ , наблюдаемые методом ЭПР [24]. Предполагается, что важную роль в быстродействии DQC1-модели играют квантовые корреляции. Наиболее популярной мерой квантовых корреляций при высоких температурах считается квантовый дискорд (discord) [9]. С целью вы-

\*E-mail: rsa@iph.krasn.ru

яснения роли квантовых корреляций в ряде работ [17, 19, 21–23] выполнена оценка квантового дискорда при работе DQC1-компьютера. Однако однозначного вывода пока не сделано [19, 21–23, 25] и динамика таких систем нуждается в дальнейших исследованиях.

В настоящей работе рассмотрим эволюцию во времени квантового дискорда в условиях наблюдения электронного спинового эха и спада свободной прецессии (ССП) в системе из электрона и окружающих его ядер. Покажем сходство динамики такой системы с динамикой DQC1-модели. Различия между системами заключены в способах управления: в случае DQC1-модели каждым ядерным спином необходимо управлять индивидуально с целью реализации квантового алгоритма, тогда как при наблюдении спинового эха эволюция ядерных спинов обусловлена внутренними взаимодействиями и внешним магнитным полем. Несмотря на большое число работ, посвященных расчетам дискорда в разных системах, нам неизвестны работы по расчету дискорда в условиях спинового эха. Отметим несколько близких работ. В работе [26] был выполнен расчет зависимости дискорда от времени и температуры для двух спинов  $S = 1/2$  в условиях наблюдения многоквантовой когерентности, а в работе [27] — в условиях наблюдения СПП спина примеси, взаимодействующего с цепочкой ядерных спинов. В работе [28] в высокотемпературном приближении рассчитана эволюция квантовых корреляций двух больших спинов ( $S > 1/2$ ) в условиях наблюдения СПП. Наконец, в работе [29] авторы на примеси фосфора в твердом кремнии экспериментально подготовили специальное состояние (состояние Белла) ансамбля двух-спиновых систем электрон–ядро с отличным от нуля дискордом и наблюдали его уменьшение под действием окружающих спинов ядер  $^{29}\text{Si}$ , рассматриваемых как случайное поле (шум).

О квантовых эффектах ведется речь во многих работах по спиновому эху. Например, в работах [30, 31] авторы связывают изменение затухания спинового эха электронного спина NV-центра в алмазе при увеличении магнитного поля с ослаблением квантовых флуктуаций. Они полагают, что если в основе затухания эха лежат изменения состояний ядер, обусловленные переворотом электронного спина (back action), то действие системы ядер следует считать квантовым (квантовый резервуар) [30–32]. Наоборот, если изменения состояний ядер, приводящие к затуханию эха, происходят независимо от состояния электронного спина, то такой резервуар считают классическим. Для сравнения двух характе-

ристик квантовости мы рассчитаем квантовый дискорд в тех же условиях.

Статья имеет следующую структуру. В разд. 2 получены аналитические результаты, описывающие эволюцию во времени квантового дискорда спинового эха и СПП для модели центрального спина в высокотемпературном приближении, при учете только поляризации электронного спина. Обсуждается зависимость дискорда от числа ядер, величины магнитного поля, а также его связь с характеристикой квантовости резервуара ядер, определяемой по свойству «back action». В разд. 3 дополнительно учтен вклад от поляризации ядерных спинов и проанализированы связанные с этим изменения во временной зависимости дискорда. Расчет выполнен для полной матрицы плотности и матрицы, редуцированной к паре спинов. Результаты двух подходов сравниваются. В Заключение сделаны общие выводы о динамике рассматриваемой системы. В Приложениях А, В, С приведены детали расчетов.

## 2. КВАНТОВЫЙ ДИСКОРД В МОДЕЛИ ЦЕНТРАЛЬНОГО СПИНА

### 2.1. Теория

Рассмотрим систему из электронного спина и  $n$  ядерных спинов в сильном постоянном магнитном поле с гамильтонианом [10–14, 24, 29–31]

$$\hat{H} = \omega_e \hat{S}_z - \sum_j \omega_j \hat{I}_{jz} + \hat{S}_z \sum_j A_{jz} \hat{I}_{jz} + \hat{S}_z \sum_j A_{jy} \hat{I}_{jy} + \hat{S}_z \sum_j A_{jx} \hat{I}_{jx} + \hat{H}_{II}, \quad (1)$$

где  $\omega_e$ ,  $\omega_j$  — ларморовские частоты электронного  $S = 1/2$  и ядерных  $I = 1/2$  спинов, взята система единиц при  $\hbar = 1$ ,  $\hat{I}_{j\alpha}$  —  $\alpha$ -компонента оператора спина  $j$  ( $\alpha = x, y, z$ ),  $A_{j\alpha}$  — константа сверхтонкого взаимодействия,  $\hat{H}_{II}$  — диполь-дипольные взаимодействия ядерных спинов.

Для электронных спинов в сильном постоянном магнитном поле при комнатной температуре  $T$  поляризация мала:  $\beta_S = \omega_e/kT \sim 10^{-3} \ll 1$ , а для ядерных спинов  $\beta_I$  еще в тысячу раз меньше, поэтому равновесную матрицу плотности возьмем сначала в следующем виде [24, 29, 33, 34]:

$$\hat{\rho}_{eq} = (1 - \beta_S \hat{S}_z) / Z, \quad (2)$$

где  $Z = 2^{n+1}$  — статистическая сумма. Влияние ядерной поляризации будет рассмотрено в следующем разделе. Далее будем проводить вычисления

в системе координат, вращающейся с частотой  $\omega_e$  (ВСК), в которой в (1) исчезнет первый зеемановский член. Подействуем на систему импульсом магнитного поля сверхвысокой частоты (СВЧ), вызывающим поворот электронного спина на угол  $90^\circ$  вокруг оси  $y$  ВСК. После импульса будет наблюдаться сигнал ССП в плоскости  $xy$ ,  $g_f(t)$ . Если по прошествии времени  $t$  подействовать на систему вторым СВЧ-импульсом, поворачивающим электронный спин на угол  $180^\circ$  вокруг оси  $x$  ВСК, то в момент времени  $2t$  будет наблюдаться спиновое эхо с амплитудой  $g_e(t)$ . Матрица плотности, описывающая эволюцию состояния системы, может быть записана в обоих случаях в виде

$$\hat{\rho}(t) = \frac{1}{Z} \left[ 1 - \frac{\beta_S}{2} \left\{ \hat{S}_+ \hat{U}_{(f,e)}^+(t) + \hat{S}_- \hat{U}_{(f,e)}^-(t) \right\} \right] = \frac{1}{Z} [1 - \beta_S \Delta \hat{\rho}_{SI}(t)], \quad (3)$$

где  $\hat{S}_\pm = \hat{S}_x \pm i\hat{S}_y$ ,

$$\begin{aligned} \hat{U}_f^+(t) &= \exp(-it\hat{H}_+) \exp(it\hat{H}_-), \\ \hat{U}_e^+(t) &= \exp(-it\hat{H}_+) \exp(-it\hat{H}_-) \times \\ &\times \exp(it\hat{H}_+) \exp(it\hat{H}_-), \end{aligned} \quad (4)$$

$\hat{H}_+$  и  $\hat{H}_-$  — значения гамильтониана (1) при фиксированных значениях проекции электронного спина соответственно  $S_z = +1/2$  и  $S_z = -1/2$ ,  $\hat{U}_{(f,e)}^\pm$  — оператор, эрмитово сопряженный  $\hat{U}_{(f,e)}^\pm$ . Подобные преобразования операторов эволюции (4) часто используются при описании спинового эха в электронно-ядерных системах. Детали можно найти в Приложении А. Для сигнала ССП или амплитуды эха получаем из (3)

$$\begin{aligned} g_{(f,e)}(t) &= \frac{\langle \hat{S}_x(t) \rangle}{\langle \hat{S}_x(0) \rangle} = \\ &= \frac{\text{Tr}\{\hat{S}_x \hat{S}_x(t)\}}{\text{Tr} \hat{S}_x^2} = \text{Re Tr} \left( \hat{U}_{(f,e)}^+(t) \right), \end{aligned}$$

где  $\langle \hat{S}_x(t) \rangle = \text{Tr}\{\hat{S}_x \rho(t)\}$  — среднее значение проекции спинового момента на ось  $x$ .

Матрица плотности (3) имеет тот же вид, что и матрица квантового вычисления в DQC1-модели [16, 17]. В последнем случае вместо унитарных операторов (4) готовят унитарный оператор  $\hat{U}_n^+$ , след которого требуется вычислить для решения задачи. Действительную или мнимую часть искомого следа находят посредством измерения средних проекций

соответственно по осям  $x$   $\langle \hat{S}_x \rangle$  или  $y$   $\langle \hat{S}_y \rangle$ . Близость систем позволяет в анализе квантовых корреляций нашего состояния (3) следовать подходу, разработанному в работах [17, 19, 21–23] для DQC1-модели.

Мерой корреляции между двумя системами служит взаимная информация [8, 9]:

$$I(\hat{\rho}) = S(\hat{\rho}_S) + S(\hat{\rho}_I) - S(\hat{\rho}), \quad (5)$$

где  $S(\hat{\rho}) = -\text{Tr}\{\hat{\rho} \log_2 \hat{\rho}\}$  — энтропия фон Неймана,  $\hat{\rho}_S = \text{Tr}_I \hat{\rho}$ ,  $\hat{\rho}_I = \text{Tr}_S \hat{\rho}$  — редуцированные матрицы плотности, получаемые после вычисления следа матрицы (3) по состояниям соответственно ядерных спинов или электронного спина. Классические корреляции будем определять через взаимную информацию  $I(\hat{\Pi}_S(\hat{\rho}))$  состояния после проективного измерения фон Неймана электронного спина [9, 17, 19]. В случае системы с  $S = 1/2$  полный набор взаимно ортогональных проекторов состоит из двух проекторов общего вида [9, 17]:

$$\hat{\Pi}_{S\pm} = \frac{1}{2} \pm (a_x \hat{S}_x + a_y \hat{S}_y + a_z \hat{S}_z), \quad (6)$$

где  $a_\alpha$  — направляющие косинусы,  $\alpha = x, y, z$ . Меру классических корреляций получаем после нахождения максимума по направлениям измерения. Для нашего состояния (3), следуя работе [17], будем брать  $a_z = 0$ ,  $a_x = \cos \varphi$ ,  $a_y = \sin \varphi$ . Квантовый дискорд определяется как разность этих двух величин [9, 17, 19]:

$$D = I(\hat{\rho}) - \max_{a_\alpha} I(\hat{\Pi}_S(\hat{\rho})). \quad (7)$$

В случае DQC1-модели в работе [17] показано, что для достаточно сложной системы с широким спектром собственных значений оператора  $U_n^+$  дискорд достигает некоторой величины, которая перестает зависеть от числа кубитов (ядер)  $n$  и принимает в нашем высокотемпературном пределе значение (см. Приложение С)

$$D \approx \frac{\beta_S^2}{16 \ln 2}. \quad (8)$$

В работах [19, 21, 22] для DQC1 показано, что дискорд, определенный после измерения второй (ядерной) подсистемы, равен нулю. Достаточно в качестве базиса, на который проводится проецирование состояния  $\hat{\rho}(t)$ , взять собственные состояния операторов  $\hat{U}_n^\pm$  ( $\hat{U}_{(f,e)}^\pm$  в нашем случае).

Отметим, что рассчитанное с помощью ортогональных измерений (6) значение дискорда служит верхней границей для дискорда, определенно при использовании обобщенных неортогональных

POVM-измерений (positive-operator-valued measurement) [9, 19, 22, 35]. В случае измерений на двухуровневой системе различия этих значений дискорда очень малы (см., например, [35]). В первую очередь нас интересует качественный анализ свойств динамических квантовых корреляций, поэтому, следуя работам [17, 19–22, 27], будем применять более простое ортогональное измерение.

Для получения возможности дальнейшего, более детального анализа упростим модель (1), положив  $A_{jz} = A_{jy} = 0$  и  $H_{II} = 0$ . В этом случае находим (см. Приложение А)

$$\hat{U}_{(f,e)}^{\pm}(t) = \prod_j \left\{ U_{j0}^{(f,e)}(t) \pm iI_{jx}U_{jx}^{(f,e)}(t) \pm iI_{jy}U_{jy}^{(f,e)}(t) \right\}. \quad (9)$$

Входящие функции приведем отдельно для ССП и спинового эха, опустив для упрощения записи индекс  $j$ :

$$\begin{aligned} U_0^f(t) &= 1 - 2n_x^2 \sin^2 \frac{t\Omega}{2}, \\ -U_x^f(t) &= F_x = 2n_x \sin(t\Omega), \\ -U_y^f(t) &= F_y = 4n_x n_z \sin^2 \frac{t\Omega}{2}, \\ U_0^e(t) &= 1 - \frac{1}{2} F_y^2, \quad U_x^e(t) = -F_x F_y \frac{n_z}{n_x}, \\ U_y^e(t) &= 2F_y \left( 1 - F_y \frac{n_z}{2n_x} \right), \end{aligned} \quad (10)$$

где

$$\Omega^2 = \omega^2 + \frac{A_x^2}{4}, \quad n_x = \frac{A_x}{2\Omega}, \quad n_z = \frac{\omega}{\Omega}.$$

В этой модели для сигнала ССП или амплитуды эха получаем

$$g_{(f,e)}(t) = \prod_j U_{j0}^{(f,e)}(t). \quad (11)$$

Подставив эти функции (опустив теперь индекс  $(f, e)$ ) в общие формулы (5) и (7) и ограничившись первым неисчезающим членом разложения по  $\beta_S$ , находим (см. Приложение В)

$$I(\rho) = \frac{\beta_S^2}{8 \ln 2} [1 - g^2(t)], \quad (12)$$

$$\begin{aligned} \max_{\varphi} I(\hat{\Pi}_S(\hat{\rho})) &= \\ &= \max_{\varphi} \left\{ \frac{\beta_S^2}{16 \ln 2} [1 - g^2(t) - K \cos(2\varphi)] \right\}, \end{aligned} \quad (13)$$

где

$$K = \prod_j U_{j0}^2(t) - \prod_j [2U_{j0}^2(t) - 1]. \quad (14)$$

Максимум в (13) достигается при  $\varphi = 0$ , если  $K < 0$ , и при  $\varphi = \pi/2$ , если  $K > 0$ . Отсюда для дискорда (7) имеем

$$D = \frac{\beta_S^2}{16 \ln 2} [1 - g^2(t) - |K|], \quad (15)$$

$$\frac{D}{I(\rho)} = \frac{1}{2} \left[ 1 - \frac{|K|}{1 - g^2(t)} \right]. \quad (16)$$

Оценку (8) получаем из (15) в том случае, когда все входящие произведения по  $j$  равны нулю. Такое может случиться на достаточно больших временах при достаточно большом числе ядер. В этом случае  $K = 0$  и исчезает зависимость от угла  $\varphi$  в (13).

В завершение раздела заметим, что поскольку взаимная информация и дискорд не изменяются при унитарном преобразовании одной из двух подсистем [9], формулы (9)–(16) описывают системы с гамильтонианами, полученными из (1) преобразованием поворота ядерных спиновых компонент. Например, если  $A_{jx} = A_{jy} = 0$ , но  $A_{jz} \neq 0$ , и ядерное зеемановское взаимодействие имеет вид  $\sum_j \omega_j \hat{I}_{jx}$ . Таким сверхтонким взаимодействием описывают, в частности, примеси фосфора в кремнии [11, 29].

## 2.2. Обсуждение

Для изучения зависимости (12), (15) и (16) от параметров рассмотрим однородный случай равного значения констант  $A_{jx} = A$  и ларморовских частот  $\omega_j = \omega$  для  $n$  ядер. Тогда

$$g(t) = U_0^n(t), \quad K = U_0^{2n}(t) - [2U_0^2(t) - 1]^n. \quad (17)$$

В этом случае при четном  $n$

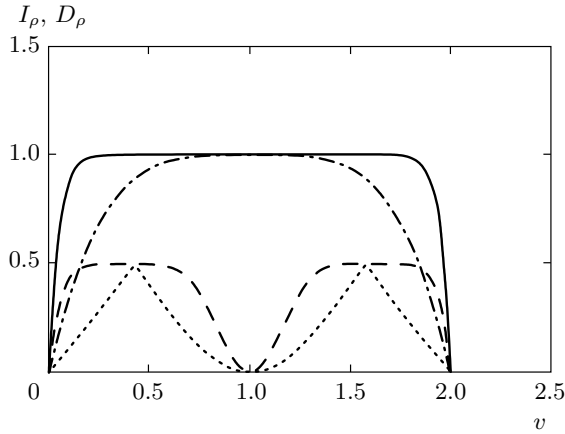
$$\begin{aligned} K &\geq 0 \quad \text{при} \quad 1/3 \leq U_0^2(t) \leq 1, \\ K &\leq 0 \quad \text{при} \quad 0 \leq U_0^2(t) \leq 1/3. \end{aligned}$$

При нечетном  $n$  величина  $K \geq 0$  при любом возможном значении  $U_0^2(t)$ . И в том, и в другом вариантах при  $U_0^2(t) = 1/3$  дискорд достигает наибольшего значения

$$D = \frac{\beta_S^2}{16 \ln 2} [1 - 3^{-m}], \quad (18)$$

где  $m = n$  при четном  $n$  и  $m = n - 1$  при нечетном  $n$ . При этом в обоих вариантах

$$I(\rho) = \frac{\beta_S^2}{8 \ln 2} [1 - 3^{-n}]. \quad (19)$$



Зависимости от параметра  $v$  (20) при разных числах ядер  $n$  взаимной информации  $I_\rho = I(\rho) \cdot 8 \ln 2 / \beta_S^2$  при  $n = 10$  (сплошная линия), 2 (штрихпунктирная) и относительной доли квантового дискорда  $D_\rho = D/I(\rho)$  при  $n = 10$  (штриховая линия), 2 (пунктирная)

Запишем функцию  $U_0^2(t)$  в виде  $U_0^2(t) = (1 - v)^2$ , где согласно (10)

$$\begin{aligned} \text{для ССП} \quad v &= 2n_x^2 \sin^2 \frac{t\Omega}{2}, \\ \text{для эха} \quad v &= 8n_x^2 n_z^2 \sin^4 \frac{t\Omega}{2}. \end{aligned} \quad (20)$$

В обоих случаях параметр  $v$  периодически изменяется во времени. Амплитуда этих осцилляций зависит от магнитного поля по-разному. При увеличении поля эта амплитуда для ССП уменьшается от 2 до 0, тогда как для эха она сначала возрастает от 0 при  $\omega = 0$  до максимального значения 2 при  $\omega = A/2$ , а затем стремится к 0 при  $\omega \rightarrow \infty$ . Зависимости взаимной информации (12) и дискорда (16) от параметра  $v$  (20) приведена на рисунке. Они задаются одними и теми же функциями от  $v$  как для ССП, так и для спинового эха.

При  $v = 0$ , например в начальный момент времени,  $U_0^2(t) = 1$  и  $D = 0$ . Рассмотрим случай, когда величина  $U_0^2(t)$  близка к единице. При  $vn \ll 1$  находим, что

$$\frac{D}{I(\rho)} \approx v(n - 1). \quad (21)$$

Если же  $v \ll 1$ , но  $vn > 1$ , то можно вывести из формул (12), (16) и (17) выражение для оценок

$$\frac{D}{I(\rho)} \approx \frac{1}{2} [1 - \exp(-2vn)], \quad (22)$$

описывающее возрастание дискорда до максималь-

ного значения (8) при достаточно большом числе ядер.

При дальнейшем увеличении времени до значения  $t\Omega/2 = \pi$  получаем снова  $v = 0$  и  $D = 0$ . При недостаточном числе  $n$  ядер, условия для которого получаем из (20):

$$\begin{aligned} \text{для ССП} \quad n &< 1/(2n_x^2), \\ \text{для эха} \quad n &< 1/(8n_x^2 n_z^2), \end{aligned} \quad (23)$$

дискорд  $D$  будет периодически достигать значения, меньшего, чем (8). С другой стороны, при ограниченном числе ядер неравенства (23) можно рассматривать как условия для величины магнитного поля. При увеличении поля сверх граничного значения, определенного неравенствами (23) вследствие  $n_x \rightarrow 0$ , достижимое значение дискорда уменьшается (для эха уменьшение произойдет и в другом пределе — пределе малых полей вследствие  $n_z \rightarrow 0$ ).

При определенных условиях, которые можно вывести из (20),  $v = 1$  и, следовательно,  $U_0^2(t) = (1 - v)^2 = 0$ . В этом случае, согласно (17),  $g(t) = 0$ , а  $|K| = 1$ , поэтому взаимная информация  $I(\rho)$  максимальна, тогда как  $D = 0$ .

Для физического объяснения этих свойств обратимся к матрице плотности (3). Мнимая часть оператора  $\hat{U}_{(f,e)}^+$ , согласно (9), содержит произведение нечетного числа операторов  $\hat{I}_{jx}$  и  $\hat{I}_{jy}$ , тогда как действительная часть содержит произведение четного их числа. Следовательно, слагаемые с операторами электронного спина  $\hat{S}_y$  и  $\hat{S}_x$  ответственны за разные корреляции. При проецировании матрицы плотности (3) на одно направление при измерении (6) квантовая часть корреляций теряется. Исключение составляет случай одного ядра  $n = 1$ , при котором все корреляции сосредоточены в члене одного направления  $\hat{S}_y$ . Поэтому при проецировании на это направление не происходит потерь корреляций и квантовый дискорд равен нулю (с рассматриваемой нами точностью до членов  $\beta_S^2$ , тогда как члены более высокой степени отличны от нуля, что можно заключить из общего решения для двухкубитовой модели DQC1 [23]). Член одного направления ( $\hat{S}_x$  при четном  $n$  и  $\hat{S}_y$  при нечетном  $n$ ) остается в выражении (3) с операторами (9) при выполнении условия  $U_0^2(t) = 0$ . При  $vn \ll 1$  у корреляций сохраняется выделенное направление  $y$  ( $\hat{S}_y$ ), поэтому дискорд (21) мал.

Наконец, при  $v \ll 1$ , но  $vn > 1$  дискорд (22) стремится к максимальному значению. Проанализируем структуру этого состояния, используя представление (С.3) Приложения С для матрицы плотно-

сти в базисе собственных функций  $|\Theta_k\rangle$  операторов эволюции (4). Это смешанное состояние представлено в виде суперпозиции состояний с определенными значениями оператора эволюции, которые, в свою очередь, определяются состояниями электронного и ядерных спинов. Каждому такому состоянию соответствует своя определенная ориентация вектора электронного спина  $\langle \mathbf{S} \rangle_k$  в плоскости  $xu$ . Условие  $vn > 1$  при  $v \ll 1$  приводит к тому, что векторы  $\langle \mathbf{S} \rangle_k$  равномерно распределяются по всем направлениям. В этом случае в формуле (С.6)

$$2^{-n} \sum_k \cos^2(\varphi + \Theta_k) \approx 1/2, \quad (24)$$

а  $\tau_{Re} \approx \tau_{Im} \approx 0$ . Спиновые операторы разных направлений не коммутируют между собой, поэтому не могут быть измерены одновременно. Если выполнено соотношение (24), то при проецировании (6) на любое направление теряем половину корреляций и квантовый дискорд достигает максимального значения в согласии с формулой (22). При этом, поскольку рассматриваемые состояния являются сепарабельными состояниями, отсутствует квантовая запутанность, характеризующая квантовые корреляции другого сорта [6–9, 17, 19, 21–23]. Выполненное исследование работы DQC1-компьютера показало, что запутанность появляется при низких температурах, когда  $\beta_S > 1$  [17]. В этих условиях неприменимо высокотемпературное приближение.

Вернемся к случаю разных констант сверхтонкого взаимодействия (11)–(16). При малых значениях параметров  $v_j$  в формулах (21) и (22) следует заменить  $vn$  на  $\sum_j v_j$ . При увеличении значений этих параметров условия  $v_j = 1$  будут выполняться для разных ядер в разные моменты времени, поэтому не будет общей точки  $v = 1$  и при достаточно большом числе ядер не будет минимума дискорда в ней, наблюдавшегося на рисунке. Более-менее равномерное распределение электронных спинов в плоскости  $xu$ , раз возникнув, будет сохраняться в дальнейшем, поэтому после достижения максимального значения дискорд сохранит это значение на больших временах.

Измерение корреляций можно выполнить без потерь, если воспользоваться процедурой «отпирания» (unlocking) классических корреляций, предложенной в работе [36]. С этой целью сначала следует выполнить проективное измерение ядерной системы в базисе собственных функций  $|\Theta_k\rangle\langle\Theta_k|$  оператора эволюции (см. Приложение С). Использование этой информации при измерении спина  $S$  позволяет выбрать правильное направление  $\varphi_k = -\Theta_k$  в проек-

торе (6). Для получения полной информации измерение следует выполнить для каждого значения  $\Theta_k$ , т. е. для каждого элемента ансамбля систем в разных классических состояниях. После этого на классическом компьютере могут быть вычислены следы матриц и взаимная информация. Теперь в формуле (С.6)

$$2^{-n} \sum_k \cos^2(\varphi + \Theta_k) = 1$$

вместо  $1/2$  в (24). Тем самым при таком измерении мы извлекаем всю информацию. Обратим внимание, что при измерении  $\langle \hat{S}_x \rangle$  или  $\langle \hat{S}_y \rangle$  в квантовой системе мы находим след матрицы эволюции за одно измерение. Здесь на спине  $S$  происходит суммирование квантовой информации, неизвестной наблюдателю. При суммировании известной наблюдателю классической информации приходится выполнять  $N = 2^n$  операций суммирования матричных элементов на классическом компьютере.

Понятно, что сделанный анализ относится не только к конкретным условиям спинового эха, но и к другим квантовым системам, в том числе к модели DQC1. Если мы будем выполнять эту модель на классической системе (на классическом компьютере), то понадобится ансамбль из  $N = 2^n$  классических систем. На каждом элементе ансамбля мы выполним одну операцию  $U_{ii}$ ,  $i = 1, \dots, N$ . Затем последовательно будем суммировать эти результаты:  $\sum_{i=1}^N U_{ii}$ . В случае реализации на квантовой системе (на квантовом компьютере DQC1) мы готовим квантовую суперпозицию  $N = 2^n$  состояний и действуем на все состояния параллельно оператором  $\hat{U}_n$ . Результаты суммируем на спине  $S$  «не читая», а измеряем только конечный результат. Тем самым, преимущество квантового компьютера DQC1 над классическим компьютером, возможно, обусловлено указанным свойством квантовой информации в суперпозиционном состоянии. Это свойство квантовой системы (квантовой информации) характеризует квантовый дискорд, равный по величине, как показано в работе [37], запертой (locking) классической корреляции. Впрочем, связь неоднозначна, поскольку быстрые квантовые вычисления могут происходить и при равном нулю дискорде [21].

Наконец, как было отмечено во Введении, в качестве характеристики квантовости резервуара ядерных спинов, окружающих электронный спин, используют способность изменения состояния резервуара вслед за изменением состояния электронного спина (back action). Такое изменение ведет к неполному восстановлению эха, к затуханию его амплитуды  $g_{(e)}(t)$ . В результате возникают корреляции меж-

ду электронным и ядерными спинами, которые характеризуются взаимной информацией (12), выраженной через квадрат амплитуды эха. Описанные в работе [30] особенности временной и полевой зависимостей  $g_{(e)}(t)$  проявятся и на величине взаимной информации, которую принято считать [8, 9] мерой полных корреляций. Величину квантовой части корреляций характеризуем дискордом, поведение которого проанализировано выше (см. рисунок). В частности, уменьшение отношения (21) при уменьшении параметра  $v$  (20) можно считать в некоторой степени подтверждением вывода авторов работы [30] об уменьшении квантовости при увеличении магнитного поля, хотя при этом уменьшается и полная величина корреляций. Следует обратить внимание на то, что в указанной работе были рассмотрены двухквантовые переходы между уровнями со спиновыми числами +1 и -1 спина  $S = 1$  NV-центра в алмазе. После замены  $A_{jx}$  на  $2A_{jx}$  формулы, полученные выше для  $S = 1/2$ , могут быть распространены на этот переход вместе со сделанными выше по ним качественными выводами о поведении квантовых корреляций. Однако для количественных расчетов они непосредственно неприменимы, поскольку для электронного спина NV-центра нарушаются условия высокотемпературного приближения.

### 3. УЧЕТ ПОЛЯРИЗАЦИИ ЯДЕРНЫХ СПИНОВ

В настоящем разделе исследуем, как повлияет на величину дискорда учет поляризации ядерных спинов. С этой целью добавим к равновесной матрице плотности (2) слагаемое

$$\beta_I \Delta \hat{\rho}_{IS} / Z = \beta_I \sum_j \hat{I}_{jz} / Z.$$

Эволюция этой части в тех же условиях, что и (3)–(10), может быть записана в виде

$$\Delta \hat{\rho}_{IS}(t) = \sum_j \left\{ U_{j0}^{(f,e)}(t) \hat{I}_{jz} + \hat{S}_z \hat{I}_{jy} U_{jx}^{(f,e)}(t) + \hat{S}_z \hat{I}_{jx} U_{jy}^{(f,e)}(t) \right\}. \quad (25)$$

Тем самым в результате эволюции рассматриваемая многоспиновая система переходит в состояние

$$\rho(t) = \{1 - \beta_S \Delta \hat{\rho}_{SI}(t) + \beta_I \Delta \hat{\rho}_{IS}(t)\} / Z. \quad (26)$$

Для этого состояния находим (см. Приложение В) взаимную информацию (5)

$$I(\rho) = \frac{1}{8 \ln 2} \times \left[ \beta_S^2 \left( 1 - \prod_j U_{j0}^2(t) \right) + \beta_I^2 \sum_j (1 - U_{j0}^2) \right], \quad (27)$$

и взаимную информацию состояния после измерения фон Неймана с проекторами (6), у которых мы взяли  $a_z = \cos \theta$ ,  $a_x = \sin \theta \cos \varphi$ ,  $a_y = \sin \theta \sin \varphi$ :

$$I(\hat{\Pi}_S(\hat{\rho})) = \frac{1}{16 \ln 2} \times \left\{ \beta_S^2 \sin^2 \theta \left[ 1 - \prod_j U_{j0}^2(t) - K \cos(2\varphi) \right] + 2\beta_I^2 \cos^2 \theta \sum_j (1 - U_{j0}^2) + 2\beta_I \beta_S \sin \varphi \sin \theta \cos \theta \times \sum_j (U_{jx}(t) U_{jy}(t)) \prod_{k(\neq j)} U_{k0}(t) \right\}. \quad (28)$$

Исследуем выражение (28) на малых временах, когда  $U_{j0}^2(t)$  близко к единице и имеет вид  $U_{j0}^2(t) = (1 - v_j)^2$ , где  $v_j \ll 1$  определено в (20). В этом случае можно пренебречь перекрестным членом, поскольку согласно (10)

$$|U_{jx}(t) U_{jy}(t)| < 1 - U_{j0}^2(t) \approx 2v_j.$$

Тогда

$$I(\hat{\Pi}_S(\hat{\rho})) \cdot 8 \ln 2 = [\beta_S^2 (1 - \cos(2\varphi)) \sin^2 \theta + \beta_I^2 \cos^2 \theta] \sum_j v_j. \quad (29)$$

В этом же приближении

$$I(\hat{\rho}) = \frac{\beta_S^2 + \beta_I^2}{4 \ln 2} \sum_j v_j. \quad (30)$$

Максимального значения функция (29) достигает при  $\varphi = \pi/2$ . В этом случае получаем

$$I(\hat{\Pi}_S(\hat{\rho})) \cdot 4 \ln 2 = [\beta_S^2 \sin^2 \theta + \beta_I^2 \cos^2 \theta] \sum_j v_j.$$

Максимальное значение последнего выражения достигается при  $\theta = \pi/2$ , если  $\beta_S^2 > \beta_I^2$ , и при  $\theta = 0$ ,

если  $\beta_S^2 < \beta_I^2$ . На этом основании для дискорда (7) получаем

$$D = \begin{cases} \frac{\beta_I^2}{4 \ln 2} \sum_j v_j = I(\rho) \frac{\beta_I^2}{\beta_S^2 + \beta_I^2} & \text{при } \beta_S^2 > \beta_I^2, \\ \frac{\beta_S^2}{4 \ln 2} \sum_j v_j = I(\rho) \frac{\beta_S^2}{\beta_S^2 + \beta_I^2} & \text{при } \beta_S^2 < \beta_I^2. \end{cases} \quad (31)$$

Отметим, что при очень малых значениях  $\beta_I^2$  следует учитывать разложение до высших степеней времени, приводящее к вкладу (21).

В других условиях, на достаточно больших временах при достаточно большом числе ядер, когда в формулах (27) и (28) все входящие произведения по  $j$  можно приближенно приравнять к нулю, величина  $K = 0$  и исчезает зависимость от угла  $\varphi$  в (28):

$$I(\hat{\Pi}_S(\hat{\rho})) = \frac{1}{16 \ln 2} \times \left\{ \beta_S^2 \sin^2 \theta + 2\beta_I^2 \cos^2 \theta \sum_j (1 - U_{j0}^2) \right\}. \quad (32)$$

Максимального значения функция (32) достигает при  $\theta = \pi/2$ , если

$$\beta_S^2 > 2\beta_I^2 \sum_j (1 - U_{j0}^2),$$

и при  $\theta = 0$ , если

$$\beta_S^2 < 2\beta_I^2 \sum_j (1 - U_{j0}^2).$$

В первом случае

$$D \approx \frac{1}{8 \ln 2} \left\{ \frac{\beta_S^2}{2} + \beta_I^2 \sum_j (1 - U_{j0}^2) \right\}, \quad (33)$$

во втором случае

$$D \approx \frac{\beta_S^2}{8 \ln 2}. \quad (34)$$

Сравним полученные выражения с результатами предыдущего раздела. При учете поляризации ядерных спинов добавляются слагаемые к  $I(\rho)$  и  $D$ . Вследствие этого меняется поведение на малых временах:  $D/I(\rho)$  стремится не к нулю, как было согласно (21), а к конечному значению (31). Увеличивается это отношение и на больших временах, как можно заключить из сравнения (33) с (22). Наконец, из-за добавления слагаемого  $\Delta \hat{\rho}_{IS}(t)$  (25), не

коммутирующего с  $\Delta \hat{\rho}_{SI}(t)$ , изменится результат измерения фон Неймана на ядерных спинах. Теперь проектор (С.2) из собственных функций унитарного оператора  $\hat{U}_{(f,e)}^\pm$  (4) изменяет состояние  $\rho(t)$  (26), поэтому при измерении на ядерных спинах дискорд будет отличен от нуля.

Существует другой подход к анализу корреляций в многоспиновой системе, при котором выполняют редукцию матрицы плотности (26) к матрице плотности пары спинов [9, 38]. Выделим один из спинов окружения  $j$  и вычислим след по спиновым переменным всех остальных ядерных спинов. В результате получим редуцированную матрицу плотности двухспиновой системы:

$$\hat{\rho}_{Sj}(t) = \frac{1}{4} \left\{ 1 + U_0 \left[ -\beta_S(t) \hat{S}_x + \beta_I \hat{I}_{jz} \right] + \beta_I \hat{S}_z \left[ U_x \hat{I}_{jy} + U_y \hat{I}_{jx} \right] + \beta_S(t) \hat{S}_y \left[ U_y \hat{I}_{jy} + U_x \hat{I}_{jx} \right] \right\}. \quad (35)$$

Для упрощения формул мы перешли к обозначениям

$$\beta_S(t) = \beta_S \prod_{k(\neq j)} U_{k0}^{(f,e)}(t), \quad U_0 = U_{j0}^{(f,e)}(t), \quad (36)$$

$$U_x = U_{jx}^{(f,e)}(t), \quad U_y = U_{jy}^{(f,e)}(t).$$

После циклической замены спиновых операторов ( $\hat{S}_x, \hat{S}_y, \hat{S}_z$ ) на ( $\hat{S}_z, \hat{S}_x, \hat{S}_y$ ) состояние (35) принимает вид X-состояния [9, 38]. При такой замене величина дискорда не изменится. Дискорд для X-состояния рассчитывался во многих работах. Вместо анализа сложных формул этих работ нам представляется более наглядным получить результат непосредственно для нашей простой модели в высокотемпературном приближении.

Для взаимной информации состояния (35) находим

$$I(\hat{\rho}_{Sj}(t)) = \frac{1}{8 \ln 2} (1 - U_0^2) (\beta_S^2(t) + \beta_I^2). \quad (37)$$

С целью выделения классической части корреляций выполним ортогональное измерение с проекторами (6) над матрицей плотности (35). Оператор  $S_x$  входит в эту матрицу отдельно от оператора ядерного спина, поэтому не дает вкладов во взаимные информации как до измерений, так и после них. Поскольку  $I(\hat{\Pi}_S(\hat{\rho}_{Sj}(t)))$  не зависит от  $a_x$ , для достижения максимального значения сумма квадратов двух других направляющих косинусов должна быть максимальна, что достигается при  $a_x = 0$ ,  $a_z = \cos \varphi$ ,  $a_y = \sin \varphi$ . Находим



$$I(\hat{\Pi}_S(\hat{\rho}_{Sj}(t))) = \frac{1}{16 \ln 2} \{ (1 - U_0^2)(\beta_S^2(t) + \beta_I^2) - \cos(2\varphi)(1 - U_0^2)(\beta_S^2(t) - \beta_I^2) + \sin(2\varphi)\beta_S(t)\beta_I U_x U_y \}. \quad (38)$$

Классическую часть корреляций можно выделить по-другому: проводя ортогональные измерения ядерного спина с помощью проекторов

$$\hat{\Pi}_{I\pm} = \frac{1}{2} \pm (b_x \hat{I}_{jx} + b_y \hat{I}_{jy} + b_z \hat{I}_{jz}),$$

где  $b_\alpha$  — направляющие косинусы. Возьмем  $b_z = 0$ ,  $b_y = \cos \psi$ ,  $b_x = \sin \psi$ , поскольку оператор  $I_{jz}$  входит в матрицу (35) отдельно от оператора электронного спина и в  $I(\hat{\Pi}_I(\hat{\rho}_{Sj}(t)))$  нет вклада с  $b_z$ . В этом случае находим

$$I(\hat{\Pi}_I(\hat{\rho}_{Sj}(t))) = \frac{1}{32 \ln 2} \times \left\{ (\beta_S^2(t) + \beta_I^2) [2(1 - U_0^2) + \sin(2\psi)U_x U_y] + \frac{1}{2} \cos(2\psi)(U_y^2 - U_x^2)(\beta_S^2(t) - \beta_I^2) \right\}. \quad (39)$$

Искомая величина классических корреляций определяется после нахождения максимальных значений функций (38) и (39) соответственно по углам  $\varphi$  и  $\psi$ . Из условия максимума получаем для (38) уравнение

$$\operatorname{tg}(2\varphi) = -\frac{U_x U_y \beta_I \beta_S(t)}{(1 - U_0^2)(\beta_S^2(t) - \beta_I^2)},$$

а для (39) —

$$\operatorname{tg}(2\psi) = \frac{2U_x U_y (\beta_S^2(t) + \beta_I^2)}{(U_x^2 - U_y^2)(\beta_S^2(t) - \beta_I^2)}.$$

Квантовый дискорд  $D_j$  определяется по формуле (7) после вычета этих классических корреляций из полных корреляций (37). При  $\beta_I = 0$  (или  $\beta_S = 0$ ) получаем  $D_j = 0$ . При ненулевых поляризациях дискорд  $D_j$  отличен от нуля, как при измерении по  $S$ , так и при измерении по  $I$ . В частности, при  $\beta_S^2(t) = \beta_I^2 = \beta^2$  находим

$$D_j = \frac{\beta^2}{16 \ln 2} \{ 2(1 - U_0^2) - |U_x U_y| \}. \quad (40)$$

При других значениях параметров можно найти результаты для дискорда численно, по полученным формулам.

Интересно отметить, что на малых временах отношение  $D_j/I(\hat{\rho}_{Sj}(t))$  задается формулой (31) с заменой  $\beta_S^2$  на  $\beta_S^2(t)$ . При этом величины дискордов

в двух случаях разные, поскольку в случае полной матрицы плотности (26) взаимная информация (30) является суммой таковых для всех пар, представленных редуцированными матрицами (35).

Таким образом, выполненное исследование показало, что метод редуцированной к паре матрицы плотности качественно правильно описывает парные корреляции и динамику их квантовых и классических долей. Такие корреляции играют главную роль при  $\beta_S \approx \beta_I$  на малых временах. На больших временах главная роль переходит к многоспиновым корреляциям. Парные корреляции затухают, что отражено в уменьшении  $\beta_S(t)$  (36) в результатах, полученных для редуцированной матрицы плотности. В этом случае во взаимной информации остается слабое, пропорциональное  $\beta_I^2$ , которое не содержит квантовых корреляций. При полном учете всех корреляций взаимная информация (27) и дискорд (33) или (34), наоборот, достигают максимальных значений.

#### 4. ЗАКЛЮЧЕНИЕ

В настоящей работе мы исследовали динамику системы из электронного спина в окружении ядерных спинов в условиях наблюдения ССП и электронного спинового эха. Затухание наблюдаемых сигналов связано с образованием корреляций между электронным и ядерными спинами. В приближении центрального спина и высоких температур матрица плотности представлена в виде суммы членов с разным числом операторов ядерных спинов, ответственных за разные корреляции. При этом в условиях ССП и спинового эха образуются одни и те же комбинации спиновых операторов, коэффициенты перед которыми в этих двух случаях по-разному зависят от времени и величины магнитного поля. После проецирования на ортогональный базис часть таких членов теряется. Взаимная информация, рассчитанная по всем членам матрицы плотности, задает величину полных корреляций, а рассчитанная по членам, сохранившимся после проецирования, — величину классических корреляций. Их разность определяет величину квантовых корреляций, характеризующих дискордом. Квантовые свойства рассматриваемой системы в настоящее время изучают по сигналам ССП и затухания амплитуды спинового эха, за величину которых ответственны члены с одним спиновым оператором. Существуют более сложные методики для измерения членов с большим числом спиновых операторов. Например, в работе [29]

с помощью методики томографии квантового состояния были измерены двухспиновые члены в матрице плотности, тогда как в работе [24] для измерения членов с большим числом спиновых операторов предложено применять методику многоквантовой ЯМР-спектроскопии. Привлечение многоспиновых членов матрицы плотности позволит провести более тонкие исследования квантовых свойств электронно-ядерной системы.

### ПРИЛОЖЕНИЕ А

#### Оператор эволюции

Свойства повышающих и понижающих операторов позволяют сделать следующие преобразования операторов эволюции ССП и спинового эха:

$$\begin{aligned} \exp(-it\hat{H}) S_+ \exp(it\hat{H}) &= \exp(-it\hat{H}_+) \times \\ &\times \exp(it\hat{H}_-) \hat{S}_+ \equiv \hat{U}_j^+(t) \hat{S}_+, \\ \exp(-it\hat{H}) \hat{P}_{180} \exp(-it\hat{H}_-) \hat{S}_- \times \\ &\times \exp(it\hat{H}) \hat{P}_{180} \exp(it\hat{H}) = \\ &= \exp(-it\hat{H}_+) \exp(-it\hat{H}_-) \times \\ &\times \exp(it\hat{H}_+) \exp(it\hat{H}_-) \hat{S}_+ = \\ &= \exp(-it\hat{H}_+) \hat{U}_f^-(t) \times \\ &\times \exp(it\hat{H}_-) \hat{S}_+ \equiv \hat{U}_e^+(t) \hat{S}_+, \end{aligned} \quad (\text{A.1})$$

где  $\hat{P}_{180}$  — оператор поворота спина  $S$  на  $180^\circ$  вокруг оси  $x$  ВСК.

В случае  $\hat{H}_{II} = 0$  операторы в формуле (4) от разных ядерных спинов коммутируют между собой, что привело в результате к произведению их вкладов в (9). Рассмотрим вклад от взаимодействия с одним ядерным спином. Свойства матриц Паули позволяют выполнить следующее преобразование экспоненциальных операторов:

$$\begin{aligned} \exp(-it\Omega n_x \hat{I}_x - it\Omega n_z \hat{I}_z) &= \\ = \cos(\Omega t/2) \hat{E}_2 - i2 \sin(\Omega t/2) \{n_x \hat{I}_x + n_z \hat{I}_z\}, \end{aligned} \quad (\text{A.2})$$

где  $\hat{E}_2$  — единичная матрица. Последовательно применяя эту формулу к операторам в формуле (4) и выполнив необходимые преобразования, получаем результаты (9), (10). Между коэффициентами существует связь, вытекающая из свойства унитарности операторов эволюции:

$$\begin{aligned} \hat{U}_{j(f,e)}^+(t) \hat{U}_{j(f,e)}^-(t) &= \\ = \left\{ U_{j0}^{(f,e)}(t) + i\hat{I}_{jx} U_{jx}^{(f,e)}(t) + i\hat{I}_{jy} U_{jy}^{(f,e)}(t) \right\} \times \\ \times \left\{ U_{j0}^{(f,e)}(t) - i\hat{I}_{jx} U_{jx}^{(f,e)}(t) - i\hat{I}_{jy} U_{jy}^{(f,e)}(t) \right\} = \\ = \left( U_{j0}^{(f,e)}(t) \right)^2 + \frac{\left( U_{jx}^{(f,e)}(t) \right)^2}{4} + \\ + \frac{\left( U_{jy}^{(f,e)}(t) \right)^2}{4} = 1. \end{aligned} \quad (\text{A.3})$$

### ПРИЛОЖЕНИЕ В

#### Вычисление взаимной информации

Для матрицы плотности (3) находим редуцированные матрицы

$$\begin{aligned} \hat{\rho}_I(t) &= \text{Tr}_S \hat{\rho}(t) = \frac{2\hat{E}_I}{Z}, \\ \hat{\rho}_S(t) &= \text{Tr}_I \hat{\rho}(t) = \\ &= \frac{1}{2} \left[ \hat{E}_S - \frac{\beta S}{2} \{ \hat{S}_+ \tau_+(t) + \hat{S}_- \tau_-(t) \} \right], \end{aligned} \quad (\text{B.1})$$

где

$$\tau_{\pm}(t) = \frac{1}{2^n} \text{Tr}_I \hat{U}_{(f,e)}^{\pm}(t),$$

$\hat{E}_I$  и  $\hat{E}_S$  — единичные матрицы. В высокотемпературном приближении используемые нами матрицы плотности имеют вид

$$\hat{\rho} = \frac{1}{Z} [1 \pm \beta \Delta \hat{\rho}].$$

В низшем порядке по обратной температуре находим для энтропии фон Неймана [33, 34]:

$$\begin{aligned} S(\hat{\rho}) &= -\text{Tr} \{ \hat{\rho} \log_2 \hat{\rho} \} = \\ &= \log_2 Z - \frac{\beta^2}{2Z \ln 2} \text{Tr}(\Delta \hat{\rho})^2. \end{aligned} \quad (\text{B.2})$$

В этом приближении для взаимной информации (5) находим выражение

$$\begin{aligned} I(\hat{\rho}) &= \frac{\beta_S^2}{2 \ln 2} \left\{ \frac{1}{Z} \text{Tr}(\Delta \hat{\rho}_{SI})^2 - \frac{1}{2} \text{Tr}_S(\Delta \hat{\rho}_S)^2 - \right. \\ &\left. - \frac{1}{2^n} \text{Tr}_I(\Delta \hat{\rho}_I)^2 \right\} = \frac{\beta_S^2}{8 \ln 2} [1 - \tau_+(t) \tau_-(t)], \end{aligned} \quad (\text{B.3})$$

которое для системы (9) дает формулу (12).

Выполнив проецирование матрицы (3) с помощью проекторов (6) по формуле

$$\begin{aligned} \hat{\Pi}_S(\Delta \hat{\rho}_{SI}(t)) &= \sum_{m=\pm} \left( \hat{\Pi}_{Sm} \otimes \hat{E}_I \right) \times \\ &\times \Delta \hat{\rho}_{SI}(t) \left( \hat{\Pi}_{Sm} \otimes \hat{E}_I \right), \end{aligned}$$

получим

$$\begin{aligned} \hat{\Pi}_S (\Delta \hat{\rho}_{SI}(t)) = & \frac{1}{4} \hat{\Pi}_{S+} \left\{ a_x \left( \hat{U}_{(f,e)}^+(t) + \hat{U}_{(f,e)}^-(t) \right) + \right. \\ & \left. + i a_y \left( \hat{U}_{(f,e)}^+(t) - \hat{U}_{(f,e)}^-(t) \right) \right\} - \\ & - \frac{1}{4} \hat{\Pi}_{S-} \left\{ a_x \left( \hat{U}_{(f,e)}^+(t) + \hat{U}_{(f,e)}^-(t) \right) + \right. \\ & \left. + i a_y \left( \hat{U}_{(f,e)}^+(t) - \hat{U}_{(f,e)}^-(t) \right) \right\}. \quad (B.4) \end{aligned}$$

В низшем порядке по обратной температуре для взаимной информации матрицы (B.4) находим

$$\begin{aligned} I \left( \hat{\Pi}_S (\hat{\rho}) \right) = & S \left( \hat{\Pi}_S (\hat{\rho}_S) \right) + S \left( \hat{\Pi}_S (\hat{\rho}_I) \right) - \\ & - S \left( \hat{\Pi}_S (\hat{\rho}) \right) = \frac{\beta_S^2}{2 \ln 2} \left\{ \frac{1}{Z} \text{Tr} \left( \hat{\Pi}_S (\Delta \hat{\rho}_{SI}) \right)^2 - \right. \\ & \left. - \frac{1}{2} \text{Tr}_S \left( \hat{\Pi}_S (\Delta \hat{\rho}_S) \right)^2 - \frac{1}{2n} \text{Tr}_I (\Delta \hat{\rho}_I)^2 \right\}. \quad (B.5) \end{aligned}$$

Для входящих в (B.5) слагаемых имеем

$$\begin{aligned} \text{Tr}_I (\Pi_S \Delta \hat{\rho}_I)^2 = & \text{Tr}_I (\Delta \hat{\rho}_I)^2 = 0, \\ \text{Tr}_S \left( \hat{\Pi}_S (\Delta \hat{\rho}_S) \right)^2 = & \frac{(a_x \tau_{Re} - a_y \tau_{Im})^2}{2}, \\ \frac{1}{Z} \text{Tr} \left( \hat{\Pi}_S (\Delta \hat{\rho}_{SI}) \right)^2 = & \frac{1}{2^{n+4}} \times \\ & \times \text{Tr}_I \left\{ a_x \left( \hat{U}_{(f,e)}^+(t) + \hat{U}_{(f,e)}^-(t) \right) + \right. \\ & \left. + i a_y \left( \hat{U}_{(f,e)}^+(t) - \hat{U}_{(f,e)}^-(t) \right) \right\}^2, \quad (B.6) \end{aligned}$$

где  $\tau_{Re}$  и  $\tau_{Im}$  — действительная и мнимая части  $\tau_{\pm}$ . Для системы (9)  $\tau_{Im} = 0$  и мы получаем из (B.6):

$$\begin{aligned} 2 \text{Tr}_S \left( \hat{\Pi}_S (\Delta \hat{\rho}_S) \right)^2 = & (\tau_{Re} a_x)^2 = a_x^2 \prod_j U_{j0}^2(t), \\ \frac{8}{Z} \text{Tr} \left( \hat{\Pi}_S (\Delta \hat{\rho}_{SI}) \right)^2 = & (a_x^2 + a_y^2) + (a_x^2 - a_y^2) \times \\ & \times \prod_j \left\{ U_{j0}^2(t) - \frac{1}{4} U_{jx}^2(t) - \frac{1}{4} U_{jy}^2(t) \right\} = \\ = & (a_x^2 + a_y^2) + (a_x^2 - a_y^2) \prod_j \{ 2U_{j0}^2(t) - 1 \}, \quad (B.7) \end{aligned}$$

где в последней строке использовано свойство (A.3). Подставив (B.7) в (B.5), получим или (13), или соответствующий вклад в (28) в зависимости от выбора направляющих косинусов, указанных в тексте.

Проведем аналогичные вычисления для вклада от ядер (25). Во-первых, вычислив в этом состоянии редуцированные матрицы

$$\text{Tr}_I \hat{\rho}_{IS}(t) = 0, \quad \Delta \hat{\rho}_I(t) = \text{Tr}_S \hat{\rho}_{IS}(t) = \sum_j \hat{I}_{jz} U_{j0}(t)$$

и энтропии фон Неймана при учете того, что

$$\begin{aligned} \text{Tr} \{ \hat{\rho}(t) \log_2 \hat{\rho}(t) \} = & \text{Tr} \{ \hat{\rho}(0) \log_2 \hat{\rho}(0) \} = \\ = & \frac{\beta_S^2 + n \beta_I^2}{8 \ln 2} - (n+1), \end{aligned}$$

получим (27). Во-вторых, выполнив ортогональное измерение фон Неймана с проекторами (6), находим

$$\begin{aligned} \hat{\Pi}_S (\Delta \hat{\rho}_{IS}(t)) = & \sum_j \left\{ U_{j0}^{(f,e)}(t) \hat{I}_{jz} \right\} + \\ & + \frac{1}{2} \hat{\Pi}_{S+} a_z \sum_j \left\{ \hat{I}_{jy} U_{jx}^{(f,e)}(t) + \hat{I}_{jx} U_{jy}^{(f,e)}(t) \right\} - \\ & - \frac{1}{2} \hat{\Pi}_{S-} a_z \sum_j \left\{ \hat{I}_{jy} U_{jx}^{(f,e)}(t) + \hat{I}_{jx} U_{jy}^{(f,e)}(t) \right\} \end{aligned}$$

и соответствующий вклад в (28) по формуле (B.5), переписанной для этого случая.

### ПРИЛОЖЕНИЕ С

#### Вычисление в ортогональном базисе ядерной системы

Введем базис  $|\Theta_k\rangle$  из  $N = 2^n$  собственных функций операторов эволюции (4)

$$\hat{U}_{(f,e)}^{\pm} |\Theta_k\rangle = \exp(\pm i \Theta_k) |\Theta_k\rangle \quad (C.1)$$

и операторы проецирования на эти состояния

$$\hat{\Pi}_k = |\Theta_k\rangle \langle \Theta_k|. \quad (C.2)$$

Запишем матрицу плотности (3) в этом представлении

$$\begin{aligned} \hat{\rho}(t) = & \frac{1}{Z} \left\{ 1 - \frac{\beta_S}{2} \sum_k \left[ \hat{S}_+ \exp(i \Theta_k) + \right. \right. \\ & \left. \left. + \hat{S}_- \exp(-i \Theta_k) \right] \otimes |\Theta_k\rangle \langle \Theta_k| \right\} = \frac{1}{Z} \times \\ & \times \left\{ 1 - \beta_S \sum_k \left[ \hat{S}_x \cos \Theta_k - \hat{S}_y \sin \Theta_k \right] \otimes \right. \\ & \left. \otimes |\Theta_k\rangle \langle \Theta_k| \right\}. \quad (C.3) \end{aligned}$$

Взаимная информация задается формулой (B.3), в которой

$$\tau_{\pm}(t) = \frac{1}{2^n} \sum_k \exp(\pm i \Theta_k). \quad (C.4)$$

Выполним проецирование матрицы (С.3) с помощью проекторов (6) при  $a_z = 0$ ,  $a_x = \cos \varphi$ ,  $a_y = \sin \varphi$ :

$$\hat{\Pi}_S (\Delta \hat{\rho}_{SI}(t)) = \frac{1}{2} \sum_k \left\{ \hat{\Pi}_{S+} \cos(\varphi + \Theta_k) \otimes |\Theta_k\rangle\langle\Theta_k| - \hat{\Pi}_{S-} \cos(\varphi + \Theta_k) \otimes |\Theta_k\rangle\langle\Theta_k| \right\}. \quad (\text{C.5})$$

В этом случае

$$\frac{1}{Z} \text{Tr} \left( \hat{\Pi}_S (\Delta \hat{\rho}_{SI}) \right)^2 = \frac{1}{2^{n+2}} \sum_k \cos^2(\varphi + \Theta_k)$$

и по формуле (В.5) находим

$$I \left( \hat{\Pi}_S(\hat{\rho}) \right) = \frac{\beta_S^2}{8 \ln 2} \left\{ \frac{1}{2^n} \sum_k \cos^2(\varphi + \Theta_k) - (\tau_{Re} \cos \varphi - \tau_{Im} \sin \varphi)^2 \right\}. \quad (\text{C.6})$$

Отметим, что для модели (9)

$$\exp(i\Theta_k) = \prod_j \exp(i\Theta_k^j),$$

где  $\Theta_k^j$  при разных  $k$  принимает одно из двух значений  $\pm 2 \arcsin \sqrt{v_j/2}$ .

## ЛИТЕРАТУРА

1. E. L. Hahn, Phys. Rev. **80**, 580 (1950).
2. К. М. Салихов, А. Г. Семенов, Ю. Д. Цветков, *Электронное спиновое эхо и его применение*, Наука, Новосибирск (1976).
3. Б. Блюмх, *Основы ЯМР*, Техносфера, Москва (2007).
4. Дж. Уо, *Новые методы ЯМР в твердых телах*, Мир, Москва (1978).
5. R. A. Jalabert and H. M. Pastawski, Phys. Rev. Lett. **86**, 2490 (2001).
6. К. А. Валиев, А. А. Кокин, *Квантовые компьютеры: надежды и реальность*, НИЦ «Регулярная и хаотическая динамика», Москва-Ижевск (2001).
7. М. Нильсен, И. Чанг, *Квантовые вычисления и квантовая информация*, Мир, Москва (2006). [M. A. Nielsen and I. L. Chuang, *Quantum Computation and Quantum Information*, Cambridge Univ. Press, Cambridge (2000)].
8. Д. Прескилл, *Квантовая информация и квантовые вычисления*, НИЦ «Регулярная и хаотическая динамика», Москва-Ижевск, т. 1 (2008) (т. 2 (2011)). [J. Preskill, *Quantum Information and Computation*. Lecture Notes for Phys. 229, California Institute of Technology (1998)].
9. K. Modi, A. Brodutch, H. Cable et al., Rev. Mod. Phys. **84**, 1655 (2012).
10. Г. Г. Козлов, ЖЭТФ **132**, 918 (2007).
11. W. M. Witzel, M. S. Carroll, L. Cywinski, and S. D. Sarma, Phys. Rev. B **86**, 035452 (2012).
12. Nan Zhao, Sai-Wah Ho, and Ren-Bao Liu, Phys. Rev. B **85**, 115303 (2012).
13. L. T. Hall, J. H. Cole, and L. C. L. Hollenberg, arXiv:1309.5921.
14. J. Hackmann and F. B. Anders, Phys. Rev. B **89**, 045317 (2014).
15. J. J. L. Morton and B. W. Lovett, Annu. Rev. Condens. Matter Phys. **2**, 189 (2011).
16. E. Knill and R. Laflamme, Phys. Rev. Lett. **81**, 5672 (1998).
17. A. Datta, A. Shaji, and C. M. Caves, Phys. Rev. Lett. **100**, 050502 (2008).
18. A. F. Fahmy, R. Max, W. Bermel, and S. J. Glasser, Phys. Rev. A **78**, 022317 (2008).
19. S. Wu, U. V. Poulsen, and K. Molmer, Phys. Rev. A **80**, 032319 (2009).
20. G. Passante, O. Moussa, C. A. Ryan, and R. Laflamme, Phys. Rev. Lett. **103**, 250501 (2009).
21. B. Dakic, V. Vedral, and C. Brukner, Phys. Rev. Lett. **105**, 190502 (2010).
22. A. Datta and A. Shaji, Int. J. Quant. Inf. **9**, 1787 (2011).
23. G. Passante, O. Moussa, and R. Laflamme, Phys. Rev. A **85**, 032325 (2012).
24. M. Mehring and J. Mende, Phys. Rev. A **73**, 052303 (2006).
25. T. Morimae, K. Fujii, and J. F. Fitzsimons, Phys. Rev. Lett. **112**, 130502 (2014).
26. E. I. Kuznetsova and A. I. Zenchuk, Phys. Lett. A **376**, 1029 (2012).
27. A. Y. Chernyavskiy, S. I. Doronin, and E. B. Fel'dman, Phys. Scripta T **160**, 014007 (2014).
28. В. Е. Зобов, ТМФ **177**, 111 (2013).

29. X. Rong, F. Jin, and Z. Wang, Phys. Rev. B **88**, 054419 (2013).
30. F. Reinhard, F. Shi, N. Zhao et al., Phys. Rev. Lett. **108**, 200402 (2012).
31. A. Laraoui, F. Dolde, C. Burk et al., Nature Comm. **4**, 1651 (2013).
32. T. Fink and H. Bluhm, arXiv:1402.0235.
33. А. Абрагам, М. Гольдман, *Ядерный магнетизм: порядок и беспорядок*, Мир, Москва (1984).
34. R. Auccaise, L. C. Celeri, D. O. Soares-Pinto et al., Phys. Rev. Lett. **107**, 140403 (2011).
35. F. Galve, G. L. Giorgi, and R. Zambrini, Europhys. Lett. **96**, 40005 (2011).
36. D. P. DiVincenzo, M. Horodecki, D. W. Leung et al., Phys. Rev. Lett. **92**, 067902 (2004).
37. S. Boixo, L. Aolita, D. Cavalcanti et al., Int. J. Quant. Inf. **9**, 1643 (2011).
38. E. B. Fel'dman, E. I. Kuznetsova, and M. A. Yurishchev, J. Phys. A: Math. Theor. **45**, 475304 (2012).